

尼古丁对人巨噬细胞胆固醇外流的影响

陈默野¹, 钱宗杰²

(1. 武汉市武昌医院 内三科, 湖北 武汉 430063; 2. 山西医科大学 第二医院 心内科, 山西 太原 030001)

中图分类号: R 977; R 589.2; R 329.2 文献标志码: A

一般认为动脉壁中巨噬细胞转变为泡沫细胞,从而启动了动脉粥样硬化病变的发生^[1]。在巨噬细胞内部,肝X受体(liver X receptor, LXR)及LXR诱导的信号是介导其脂代谢的重要分子基础,也是巨噬细胞致动脉粥样硬化的重要环节^[2]。

尼古丁被认为是烟草致动脉粥样硬化作用的主要因素,但其致动脉粥样硬化作用机制不甚明了,最近有研究发现尼古丁致动脉粥样硬化作用与其炎症效应相关^[3]。本实验旨在探讨尼古丁对LXR信号途径是否影响巨噬细胞致动脉粥样硬化作用。

1 实验

1.1 材料与试剂: 21名健康成人外周血液,提取外周血的单核细胞作为本研究的实验材料。Ficoll淋巴细胞分层液、2%台盼蓝染液、小牛血清、二甲基亚砜(DMSO)、0.02% EDTA(武汉亚法生物公司),完全RPMI-1640培养液(Gibco公司),^[3H]胆固醇、apoA-I、TO-901317(Sigma公司),佛波酯(phorbol 12-myristate 13-acetate, PMA)(Alexis Biochemicals公司),Trizol试剂(Promega公司),用于RT-PCR的试剂和DNA标记DL-2000(TaKaRa Biotrchnology公司),尼古丁(中山生物公司)。

1.2 外周血单核细胞分离及巨噬细胞的转化: 采用Percoll(比重1.077)密度梯度离心法分离收集外周血单个核细胞,将收集的单核细胞调整为 $3.0 \times 10^9 L^{-1}$,转入6孔培养板,在含有10%小牛血清,青霉素100 U/mL,链霉素100 mg/L的RPMI1640培养液,加 $3.2 \times 10^{-7} mol/L$ 的PMA,5% CO₂,37℃的培养箱中孵育24 h。

1.3 巨噬细胞的处理及胆固醇外流的测定: 将巨噬细胞调整为 $3.0 \times 10^9 L^{-1}$ 的浓度,转入6孔细胞培养板,在含有10%小牛血清,青霉素100 U/mL,链霉素100 mg/L的RPMI1640培养液中加7.4 MBq/mL [³H]胆固醇共培养48 h,用PBS液洗涤细胞。获得的巨噬细胞调整为 $3.0 \times 10^9 L^{-1}$ 的浓度,转入6孔细胞培养板,在上述培养液中,实验组加终浓度0和

100 μg/L的尼古丁和同时加或不加2 μmol/L的TO-901317,培养24 h。再用PBS液洗涤细胞,在无血清含10 μg/L apoA-I新培养液中培育细胞12 h,用闪烁计数法检测培养液和细胞的^[3H]胆固醇。胆固醇流出用培养液中分钟计数除以总分钟计数,再乘以100%来表示。

1.4 反转录聚合酶链反应: 收集上述各组细胞。按Trizol试剂盒说明书提取总RNA。取各组细胞总RNA 2 μg反转录合成cDNA,再取反转录产物10 μL进行PCR循环。94℃预变性5 min,PCR扩增34个循环(94℃变性1 min,退火1 min,72℃延伸1 min)后,72℃再延伸10 min,然后4℃5 min。PCR引物由武汉伯杰生物公司合成, LXRα: (上游)5'-CTCTGAGACATCTCGGAGGT-3', (下游)5'-CTGATAGCAATGCAAGGCAA-3'; ABCA1: (上游)5'-ATAAGCCCTCTATAC TAAATGCC-3', (下游)5'-ACAGCGTAAAGTGCTTGAATG-3'; SREBP2: (上游)5'-ATAGGTGGCAGGGCAGAAAC-3', (下游)5'-AATCAAGACGCTACAGCAACTCA-3'; CETP: (上游)5'-AAGATGCCCAAGATCTCCTG-3', (下游)5'-AAGCTCTGGAGAAATCCAC-3'; PLTP: (上游)5'-CTGCGAGAGGTGATTAG AAGA-3', (下游)5'-CAGGCTATGAATGTGGGAAAAG-3'; apoE: (上游)5'-GCGGATGGAGGAGATGGG-3', (下游)5'-AGGCAGGAGGCACGGGGT-3'; MMP-9: (上游)5'-CTTCCAG ACCGAGAGAAAGCC-3', (下游)5'-CAAAGGTGAGAGAGGCC-3'; MIP-1α: (上游)5'-CGCCTGCTGCTTACGCTACAC-3', (下游)5'-TGTGGAGGTCACGCATGTT-3'; GAPDH: (上游)5'-CCCATGTTCTCATGGGTGT-3', (下游)5'-TGTCATGATCCTTCCACGATA-3'。反应结束后,取反应产物10 μL进行1.5%琼脂糖凝胶电泳,溴化乙啶染色,UV型凝胶图像分析系统摄图,并分析各组目的基因及GAPDH基因灰度值,以二者的比值代表各基因的表达量。

1.5 统计学分析: 在SAS统计分析软件上分析各组数据,结果以 $\bar{x} \pm s$ 表示,根据数据特征作方差分析、 χ^2 检验及t检验。

2 结果

2.1 尼古丁对巨噬细胞胆固醇外流的影响:由 apoA-I 介导的人外周血来源的巨噬细胞胆固醇外流被 100 $\mu\text{g/L}$ 的尼古丁抑制。巨噬细胞在有 TO-901317 活化 LXR 时,促进了胆固醇的外流,在有尼古丁的作用下,抑制了 LXR 的部分作用(图 1)。

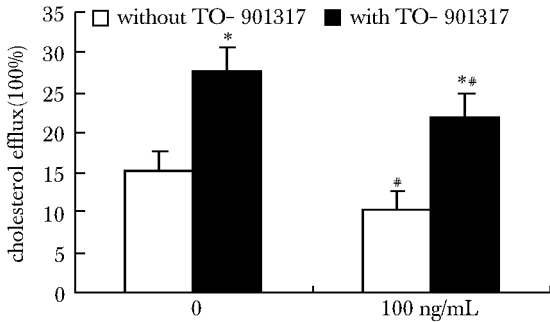


图 1 尼古丁对 apoA-I 介导的巨噬细胞的胆固醇外流的影响

Fig 1 Effect of nicotine on apoA-I mediated cholesterol efflux in macrophage ($\bar{x} \pm s, n = 21$)

* $P < 0.01$ compared with groups without TO-901317;

$P < 0.05$ compared with groups without nicotine

2.2 尼古丁对人外周血来源的巨噬细胞 LXR α 及下游基因 mRNA 表达的影响:在尼古丁的作用下,人外周单核细胞来源的巨噬细胞涉及胆固醇外流的基因 LXR α 、ATP 结合盒转移子家族 A1 (ATP binding cassette A1, ABCA1)、固醇调节元件结合蛋白 2 (sterol regulatory element binding protein, SREBP2)、磷脂转运蛋白 (phospholipid transfer protein, PLTP)、胆固醇酯转运蛋白 (cholesterol ester transfer protein, CETP) 的 mRNA 的表达均下调,而涉及炎症反应的基因 MMP-9 和 MIP-1 α 的 mRNA 的表达水平则增高。并且在加 TO-901317 活化 LXR 时,尼古丁能部分抵抗 LXR 的效应(表 1,图 2)。

3 讨论

在巨噬细胞内,通过协同调节介导胆固醇摄入、储积、细胞内合成和外流,来维持胆固醇平衡,当调节这些功能的信号出现故障,可能导致泡沫细胞的形成^[1,3]。另一方面,当巨噬细胞内的炎症因子活化,则是泡沫细胞形成和动脉粥样病变进展的直接原因。

吸烟是动脉粥样硬化的危险因素,这是广被人们所认识的,尼古丁是其中的主要的有害成分。尼古丁通过与尼古丁乙酰胆碱 (nicotinic acetylcholine, nACh) 受体结合,介导其生理作用。尼古丁具有致动脉粥样硬化作用,依赖于其促进巨

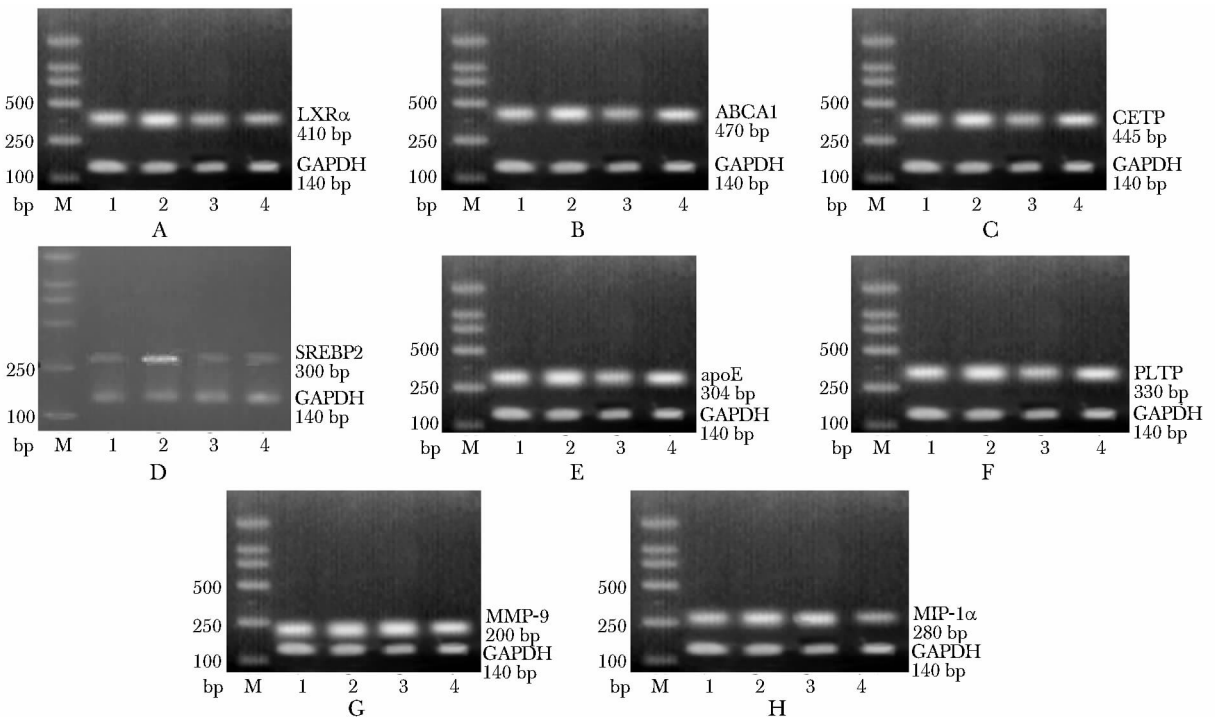


图 2 巨噬细胞 LXR α 及其目的基因的 RT-PCR 产物的电泳图

Fig 2 Gel electrophoresis map for RT-PCR of LXR α and its target gene in macrophage

A. LXR α ; B. ABCA1; C. SREBP2; D. apoE; E. CETP; F. PLTP; G. MMP-9; H. MIP-1 α

M. DNA molecular weight marker; 1. without TO-901317 and nicotine; 2. with TO-901317 and without nicotine; 3. with 100 $\mu\text{g/L}$ and without TO-901317; 4. with 100 $\mu\text{g/L}$ and with TO-901317

表1 尼古丁对巨噬细胞 LXR α 及其目的基因的表达
Table 1 LXR α and it's target gene expression on macrophage ($\bar{x} \pm s$, %, $\mu\text{g/L}$)

saturation	0		100	
	without TO-901317	with TO-901317	without TO-901317	with TO-901317
LXR α	29.33 \pm 2.18	41.27 \pm 2.58 *	18.12 \pm 3.29 Δ	20.36 \pm 2.74 *
ABCA1	32.78 \pm 2.43	48.69 \pm 3.34 *	17.48 \pm 2.52 Δ	29.37 \pm 1.78 **
SREBP2	18.63 \pm 2.31	34.12 \pm 2.75 *	10.73 \pm 2.45 \blacktriangle	23.26 \pm 1.94 **
CETP	28.09 \pm 1.57	43.57 \pm 2.73 *	13.75 \pm 1.32 Δ	25.48 \pm 2.37 **
PLTP	36.85 \pm 2.54	51.23 \pm 2.71 *	21.93 \pm 2.47 Δ	32.04 \pm 2.84 **
apoE	34.49 \pm 2.59	52.78 \pm 3.81 *	16.47 \pm 2.35 Δ	28.14 \pm 2.73 **
MMP-9	29.31 \pm 2.54	20.19 \pm 2.19 *	41.38 \pm 2.14 \blacktriangle	30.63 \pm 2.23 **
MIP-1 α	21.18 \pm 1.78	34.07 \pm 2.75 *	40.92 \pm 2.79 Δ	19.14 \pm 2.04 **

$^{\Delta}P < 0.01$ compared with group without TO-901317 between similar saturation of nicotine; $^{\blacktriangle}P < 0.01$, $^{\blacktriangle}P < 0.05$ compared with group 0 ng/mL nicotine without TO-901317; $^*P < 0.01$ compared with group 0 ng/mL nicotine without TO-901317

噬细胞的炎症因子的分泌^[3]。可能机制是,尼古丁通过尼古丁乙酰胆碱受体直接诱导单核细胞和巨噬细胞的 iNOS 和 TNF- α 的表达,反过来,侵入病变局部的活化巨噬细胞,在其分泌的炎症因子和氧化负荷等机制的作用下,活化巨噬细胞、平滑肌细胞和内皮细胞中的 NF- κ B 转录因子^[3]。尼古

丁被认为是一个可以致动脉粥样硬化的因素,但是它的具体机制并不很清楚,目前在炎症和免疫机制方面,有一定的作用。本研究中,发现尼古丁可以抑制 LXR 信号途径,影响巨噬细胞的胆固醇外流,并可通过 LXR 途径来促进炎症的发生,这可能是吸烟能致动脉粥样硬化的一个方面。

参考文献:

- [1] Lusis AJ. Atherosclerosis[J]. Nature, 2000,407(6801): 233 - 241.
- [2] Ricote M, Valledor AF, Glass CK. Decoding transcriptional programs regulated by PPARs and LXRs in the macrophage: effects on lipid homeostasis, inflammation, and atherosclerosis[J]. Arterioscler Thromb Vasc Biol, 2004,24: 230 - 239.
- [3] Lau PP, Li L, Merched AJ, et al. Nicotine induces proinflammatory responses in macrophages and the aorta leading to acceleration of atherosclerosis in low-density lipoprotein receptor^{-/-} mice [J]. Arterioscler Thromb Vasc Biol, 2006,26:143 - 149.